

## コンクリート材料の破壊機構とAE発生源に関する考察

京都大学工学部 正員 丹羽義次  
 京都大学工学部 正員 大津政康  
 日本電信電話公社 正員 ○奥田和男

1. はじめに

アコースティック・エミッション(AE)現象は、破壊過程において多種多様な情報を内蔵しており、従来の研究においては、このAEパラメータを、個々に破壊過程と関連させて検討がなされてきた。しかし、AEの発生機構との関連については、不明な部分が多く、今後AE法を活用する場合の基礎資料として、発生源に関する研究は急務であると考えられる。本報告は、AEの破壊源探査法をコンクリート材料の破壊実験に適用し、破壊源の位置と破壊形式、さらに周波数特性等の面から、コンクリート材料の破壊過程とAE発生源の機構について考察を加えたものである。その際、AE変換子の周波数応答特性が問題となるので、実験および数値解析両面から検討を行なった。

2. AE変換子の較正法

AE波を周波数分析する時に問題となる、変換子の周波数応答特性を知るために、実験・数値解析両面から検討した。

実験では、PZT圧電素子(905S, 900BA)を互いに組み合わせて貼り合わせ、周

波数可変、一定電圧の波を入力した場合と、ステップ波を入力した時の出力を比較し、圧電素子を一自由度の線振動子と仮定した場合、変換子の周波数応答関数 $|W(f_k)|$ が、次式で表わせることを確かめた。

$$|W(f_k)| \equiv \left| \frac{a_k(t)}{e_k(t)} \right| \approx |i2\pi f_k A(f_k)|$$

$\left| \frac{a_k(t)}{e_k(t)} \right|$ : 電圧一定、周波数 $f_k$ のSin波を入力した時の入力電圧に対する出力電圧の比  
 $A(f_k)$ : ステップ波を入力した時の出力 $a(t)$ をフーリエ変換したもの

Fig.1に結果を示す。

数値解析においては、900BA AE変換子を軸対称問題と考え、圧電効果を考慮に入れた有限要素解析により、共振周波数および共振モードを求めた。

3. 実験概要

実験としては、コンクリート(水:セメント:砂:粗骨材 = 0.625:1.0:2.26:3.6), モルタル(水:セメント:砂 = 0.6:1.0:2.0)を用い、一軸圧縮試験( $\phi 10^{\text{cm}} \times 20^{\text{cm}}$ ), 割裂試験( $\phi 15^{\text{cm}} \times 15^{\text{cm}}$ ), 単鉄筋はり曲げ試験( $10^{\text{cm}} \times 10^{\text{cm}} \times 40^{\text{cm}}$ , D10 使用)を行なった。AE計測に際しては、供試体に900BA( $\phi 4^{\text{mm}} \times 2^{\text{mm}}$ )の変換子を5つ装着し、増幅度は60dB、周波数帯は10kHz~300kHzに設定し、検出されたAE波形はウェイプメモリーを介してデジタルカセットに収録した。このとき、一波形のサンプリング間隔は1μsecに設定した。

#### 4. 実験結果および考察

カセットに収録されたAE波形のデータは、計算機で処理し、継波初動の到達時間差および初動の向きを読みとり、破壊源探査を行なった。このとき、鉄筋はりについては異方性速度を考慮に入れた。地震学における発生機構の研究より、破壊源でセン断破壊が生じた場合、半极限モデルにより正負の変位を示し、クラックの開口による破壊が生じた場合、全方向で同じ向きを示すことが知られている。これを実験に適用し、5箇所より検出されたAE波形の向きのそろいから、AE発生源でどのような破壊が生じているかを分類した。さらに、AE発生源の周波数特性を知るために、AE波形を周波数分析し、AE変換子の周波数応答特性を較正することにより、原波形のスペクトルを求めた。

例として、Fig.2に、割裂試験の破壊源探査図を3段階に分けて示す。Fig.3は、同供試体の荷重-ひずみ曲線および破壊機構を示すヒストグラムである。そして、Fig.2の破壊源に対する周波数分析結果をFig.4に示した。

本研究において得られた結果を総括すると、破壊源探査において得られた探査点は、破壊後のひびわれ面、破断切片とよく一致し、一軸圧縮試験、割裂試験では、初期段階でクラックの開口によって生じる微小破壊が多く、しだいにセン断による破壊が卓越する、またAEのスペクトルは、AE発生源からの距離、供試体のひびわれ状況等、AE波の減衰効果に大きく左右されることがわかった。また、割裂試験では、セン断による破壊現象が引張クラックの開口による破壊に比べて、高周波成分の割合が多いことが認められた。

その他の詳細については、当日発表を行なう。

Fig. 3 荷重-ひずみ曲線および破壊機構を示すヒストグラム(コンクリート割裂試験)

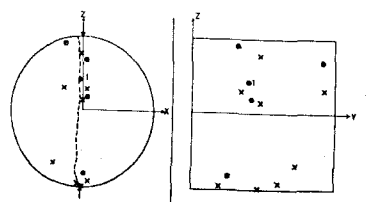
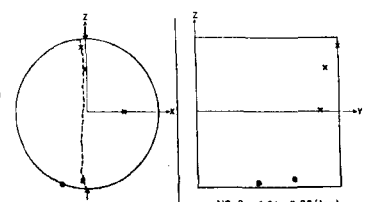
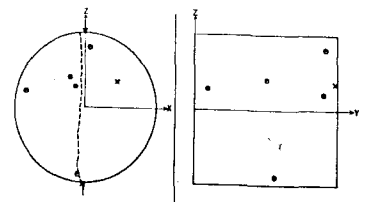
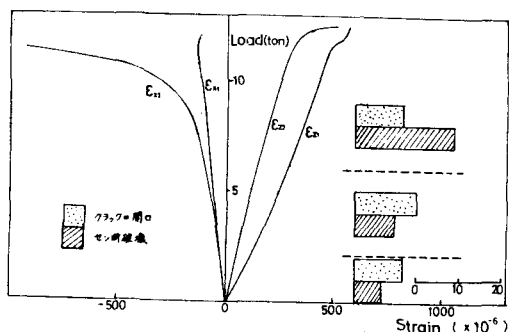


Fig. 2 破壊源探査図  
(コンクリート割裂試験)  
● クラックの開口 × セン断

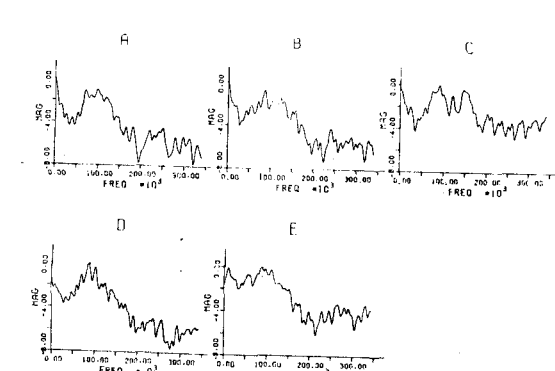


Fig. 4 周波数分析図(破壊源1) 破壊荷重の62%で検出